arXiv:0911.3187v1 [math.CA] 17 Nov 2009

Escalas Temporais e Mathematica*

Artur M. C. Brito da Cruz[1]
acruz@est.ips.pt

Helena Sofia Rodrigues[2]
sofiarodrigues@esce.ipvc.pt

Delfim F. M. Torres[3]
delfim@ua.pt

[1]Escola Superior de Tecnologia
Instituto Politécnico de Setúbal

[2]Escola Superior de Ciências Empresariais
Instituto Politécnico de Viana do Castelo

[3]Departamento de Matemática
Universidade de Aveiro

Resumo

As escalas temporais são um modelo de tempo, onde os casos clássicos de tempo contínuo e discreto são considerados e fundidos num mesmo quadro geral. Neste artigo apresentam-se as definições básicas em escalas temporais e introduz-se, paralelamente, um *package* em Mathematica.

Palavras chave: escalas temporais, Mathematica.

Abstract

Time scales are a model of time, where the continuous and the discrete time cases are considered and merged into the same framework. In this paper some basic definitions of the time scale calculus are presented. Simultaneously, a package in Mathematica is introduced.

Keywords: time scales, computer algebra system Mathematica.

2010 Mathematics Subject Classification: 26-04, 26E70.

1 Introdução

De acordo com E. T. Bell (1883-1960) "uma das tarefas principais da Matemática é harmonizar o contínuo e o discreto incluindo-os numa matemática abrangente e eliminando a obscuridade de ambos" [7]. Em 1988 Stefan Hilger introduziu

*Aceite para publicação no Boletim da SPM (Sociedade Portuguesa de Matemática).

o cálculo em escalas temporais — *Time Scales* [16] — e iniciou-se uma relação profícua entre o cálculo diferencial e o cálculo às diferenças [17]. O *Cálculo em Escalas Temporais* introduzido por Hilger permite cumprir com sucesso a tarefa proposta por Bell. É um assunto que tem recebido nos últimos anos particular atenção e onde se tem vindo a assistir a interessantes avanços.

O formalismo das escalas temporais tem um enorme potencial para aplicações em diversas áreas tais como a biologia, a teoria do controlo, a economia e a medicina, onde os sistemas dinâmicos envolvidos contêm frequentemente uma parte discreta e uma parte contínua [2, 8, 13]. Por exemplo, um consumidor recebe o salário num dado momento do mês (tempo discreto), mas vai ponderando ao longo de todo o tempo quanto deve gastar e quanto deve poupar (tempo contínuo) [2, 8]. A biologia é fecunda em exemplos, pois é normal o crescimento de plantas e insectos depender fortemente de uma época do ano, devido a factores como a temperatura, humidade e pluviosidade [12]. Por exemplo, é natural que se considere um modelo dinâmico em escalas temporais para estudar insectos *Magicicada*, que exibem uma combinação de ciclos de vida longos e curtos. Na verdade, as cigarras passam vários anos de crescimento subterrâneo como jovens (de 4 a 17 anos, dependendo da espécie), saindo depois acima do solo apenas por um curto estágio adulto de várias semanas. Desta forma faz todo o sentido considerar-se uma escala de tempo diferente para os períodos "abaixo" e "acima do solo". Outro exemplo é dado pelo insecto *Magicicada septendecim* que vive como uma larva por 17 anos e como adulto por cerca de uma semana. Na medicina, Jones *et al.* [19] apresentam uma modelação em escalas temporais para usar o desbridamento de uma ferida como um controlo na cicatrização natural. Em Matemática encontram-se também várias aplicações, nomeadamente na área das desigualdades matemáticas [14, 15, 27, 28], na teoria do controlo [3, 4, 5, 26, 29], cálculo das variações [1, 2, 6, 13, 24, 25] e optimização multi-objectivo [23].

Na Secção 2 introduzem-se os conceitos básicos relativos às escalas temporais e mostra-se como esta teoria é uma generalização do caso real (tempo contínuo) e do caso dos números inteiros (tempo discreto). Na Secção 3 apresentam-se duas noções de diferenciabilidade em escalas temporais: as derivadas delta e as derivadas nabla. O texto é acompanhado com exemplos de utilização do sistema de computação algébrica Mathematica. Termina-se com a Secção 4 de conclusão e notas finais sobre algumas linhas de investigação nesta área.

2 Noções elementares

Uma *escala temporal*, $\mathbb{T}$, é um subconjunto não vazio fechado de $\mathbb{R}$. Os conjuntos

$$\begin{aligned}
&\mathbb{T}=\mathbb{R},\\
&\mathbb{T}=\mathbb{Z},\\
&\mathbb{T}=h\mathbb{Z}=\{hk : k\in\mathbb{Z}\} \text{ com } h>0,\\
&\mathbb{T}=\overline{q^{\mathbb{Z}}}=\left\{q^k : k\in\mathbb{Z}\right\}\cup\{0\} \text{ com } q>1,\\
&\mathbb{T}=\mathbb{P}_{a,b}=\bigcup_{k=0}^{+\infty}\left[k\left(a+b\right),k\left(a+b\right)+a\right] \text{ onde } a,b>0,
\end{aligned}$$

são exemplos de escalas temporais.

Neste trabalho usa-se o *package* em Mathematica *TimeScales* que foi criado para o efeito em colaboração com o Prof. Pedro A. F. Cruz (`pedrocruz@ua.pt`) da Universidade de Aveiro. O leitor é convidado a efectuar o *download* do *package* em `http://www.esce.ipvc.pt/docentes/srodrigues/TimeScales.m` e a fazer as suas próprias experiências. Para isso, é necessário colocar o ficheiro na directoria *Extrapackages* do Mathematica e, na janela de trabalhos do Mathematica, executar o comando `Needs["TimeScales‘"]`. Para introduzir uma escala temporal em Mathematica basta depois considerá-la como uma lista, onde se pode introduzir valores discretos e contínuos. Note-se que os valores devem ser escritos por ordem crescente e, caso haja a união de vários subconjuntos, estes devem ser disjuntos dois a dois.

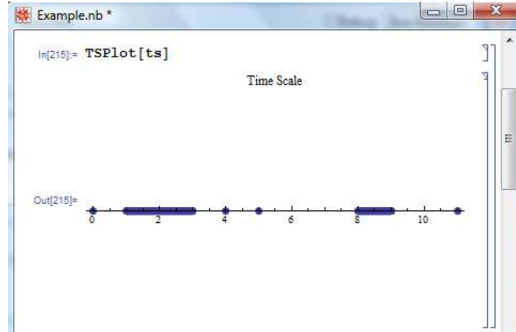
$ts := \{Dados\}$
onde os valores em "Dados" podem ser discretos, em forma de intervalo, ou a união dos dois casos anteriores.

```
Untitled-1 *
In[1]:= ts1 := {1, 2, 4, 8}
In[2]:= ts2 := {Interval[{1, 8}]}
In[3]:= ts := {0, Interval[{1, 3}], 4, 5, Interval[{8, 9}], 11}
```

Neste artigo considerar-se-á a seguinte escala temporal como exemplo ilustrativo: `ts:={0, Interval[{1,3}],4,5,Interval[{8,9}],11}`, o que na notação usual da Matemática nada mais é que o conjunto $ts = \{0, 4, 5, 11\} \cup [1, 3] \cup [8, 9]$.

Para uma visualização em Mathematica dos elementos que pertencem à escala temporal usa-se o seguinte comando:

$TSPlot[escalatemporal]$



Dada uma escala temporal $\mathbb{T}$ e $t \in \mathbb{T}$, definem-se os seguintes operadores:

- o *operador de avanço* $\sigma : \mathbb{T} \to \mathbb{T}$ por $\sigma(t) = \inf\{s \in \mathbb{T} : s > t\}$, onde $\sigma(\sup \mathbb{T}) = \sup \mathbb{T}$ caso $\sup \mathbb{T} < +\infty$;
- o *operador de recuo* $\rho : \mathbb{T} \to \mathbb{T}$ por $\rho(t) = \sup\{s \in \mathbb{T} : s < t\}$, onde $\rho(\inf \mathbb{T}) = \inf \mathbb{T}$ caso $\inf \mathbb{T} > -\infty$;
- a *função de rarefacção de avanço* $\mu : \mathbb{T} \to [0, +\infty[$ por $\mu(t) = \sigma(t) - t$;
- a *função de rarefacção de recuo* $\nu : \mathbb{T} \to [0, +\infty[$ por $\nu(t) = t - \rho(t)$.

Exemplo 1. *A Figura 1 ilustra o comportamento dos operadores de avanço e recuo numa escala de tempo $\mathbb{T}$.*

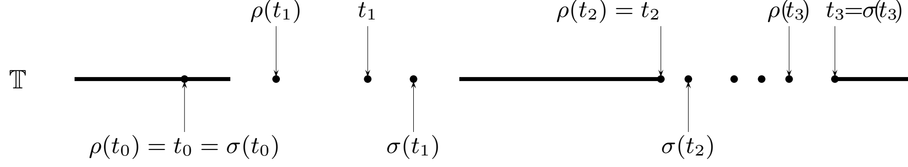


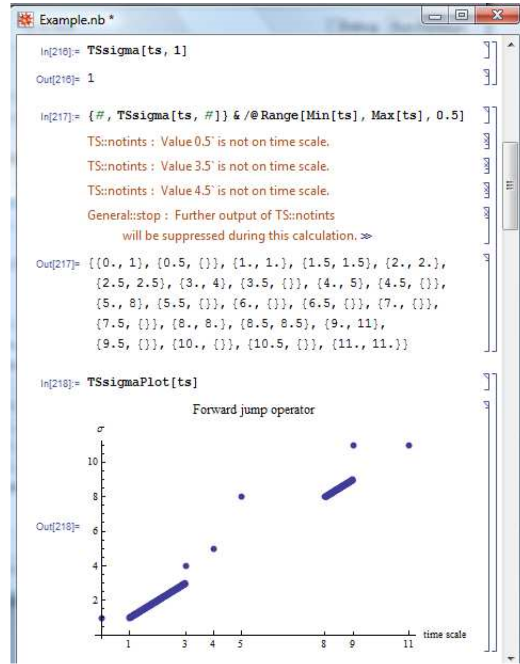
Figura 1: Ilustração dos operadores de avanço e recuo.

Em Mathematica:

$TSsigma[escalatemporal, ponto]$
caso se pretenda calcular o operador de avanço em apenas um ponto;

$\{\#, TSsigma[escalatemporal, \#]\}\&/@$
$Range[Min[escalatemporal],$
$Max[escalatemporal], passo]$
caso se pretenda calcular o operador de avanço numa série de pontos (note-se que caso os pontos não pertençam à escala temporal, o Mathematica emite um aviso);

$TSsigmaPlot[escalatemporal]$
representação gráfica do operador de avanço.



Os comandos Mathematica relativos ao operador de recuo e às funções de rarefacção são, respectivamente,

```
TSrho[escalatemporal, ponto]
TSmu[escalatemporal, ponto]
TSnu[escalatemporal, ponto]
```

Os operadores de avanço e recuo permitem classificar os pontos de uma escala temporal. Um ponto $t \in \mathbb{T}$ diz-se:

- *discreto à direita* se $\sigma(t) > t$;
- *denso à direita* se $\sigma(t) = t$;
- *denso à esquerda* se $\rho(t) = t$;
- *discreto à esquerda* se $\rho(t) < t$.

Um ponto denso à direita e denso à esquerda diz-se simplesmente *denso*; um ponto diz-se *isolado* caso seja discreto à esquerda e à direita simultaneamente.

Exemplo 2. *Na Figura 1 tem-se que t_0 é denso; t_1 é isolado; t_2 é denso à esquerda e discreto à direita; e t_3 é discreto à esquerda e denso à direita.*

Exemplo 3. *Se $\mathbb{T} = \mathbb{R}$, então todo o ponto $t \in \mathbb{T}$ é denso pois $\sigma(t) = t = \rho(t)$. Além disso, $\mu(t) \equiv 0$ e $\nu(t) \equiv 0$.*

Exemplo 4. *Se $\mathbb{T} = \mathbb{Z}$, então todo o ponto $t \in \mathbb{T}$ é isolado pois $\sigma(t) = t + 1$ e $\rho(t) = t - 1$. Além disso, $\mu(t) \equiv 1$ e $\nu(t) \equiv 1$.*

Exemplo 5. *Se $\mathbb{T} = h\mathbb{Z}$, $h > 0$, então todo o ponto $t \in \mathbb{T}$ é isolado pois*

$$\begin{aligned}\sigma(t) &= \inf\{s \in \mathbb{T} : s > t\} = t + h \\ \rho(t) &= \sup\{s \in \mathbb{T} : s < t\} = t - h.\end{aligned}$$

Neste caso $\mu(t) = h$ e $\nu(t) = h$.

Exemplo 6. *Se $\mathbb{T} = \overline{q^{\mathbb{Z}}}$, $q > 1$, então para $t = q^{n_0} \in \mathbb{T}$ tem-se*

$$\begin{aligned}\sigma(t) &= \inf\{s \in \mathbb{T} : s > t\} = q^{n_0+1} = qt \\ \rho(t) &= \sup\{s \in \mathbb{T} : s < t\} = q^{n_0-1} = q^{-1}t\end{aligned}$$

e, para $t = 0$,

$$\sigma(0) = 0 = \rho(0)\ .$$

Logo todo o ponto $t \neq 0$ é isolado e o ponto $t = 0$ é denso. A função de rarefacção de avanço é dada por

$$\mu(t) = \begin{cases} (q-1)\,t & se \quad t \in \mathbb{T}\setminus\{0\} \\ 0 & se \quad t = 0\,; \end{cases}$$

a função de rarefacção de recuo é dada por

$$\nu(t) = \begin{cases} \left(1 - q^{-1}\right)t & se \quad t \in \mathbb{T}\setminus\{0\} \\ 0 & se \quad t = 0\,. \end{cases}$$

Nos exemplos anteriores σ e ρ são funções inversas: $\sigma = \rho^{-1}$ e $\rho = \sigma^{-1}$. Em geral, conforme se ilustra no Exemplo 7, $\sigma \neq \rho^{-1}$ e $\rho \neq \sigma^{-1}$.

Exemplo 7. *Sejam* $a, b > 0$ *e* $\mathbb{T} = \mathbb{P}_{a,b} = \bigcup\limits_{k=0}^{+\infty} [k(a+b), k(a+b)+a]$. *Então,*

$$\sigma(t) = \begin{cases} t & se \quad t \in \bigcup\limits_{k=0}^{+\infty} [k(a+b), k(a+b)+a[\\ t+b & se \quad t \in \bigcup\limits_{k=0}^{+\infty} \{k(a+b)+a\} \end{cases}$$

$$\rho(t) = \begin{cases} t & se \quad t \in \bigcup\limits_{k=0}^{+\infty}]k(a+b), k(a+b)+a] \cup \{0\} \\ t-b & se \quad t \in \bigcup\limits_{k=1}^{+\infty} \{k(a+b)\} \end{cases}$$

$$\mu(t) = \begin{cases} 0 & se \quad t \in \bigcup\limits_{k=0}^{+\infty} [k(a+b), k(a+b)+a[\\ b & se \quad t \in \bigcup\limits_{k=0}^{+\infty} \{k(a+b)+a\} \end{cases}$$

$$\nu(t) = \begin{cases} 0 & se \quad t \in \bigcup\limits_{k=0}^{+\infty}]k(a+b), k(a+b)+a] \cup \{0\} \\ b & se \quad t \in \bigcup\limits_{k=1}^{+\infty} \{k(a+b)\} \end{cases}$$

Para $k \geqslant 0$, *visto que*

$$\rho(k(a+b)+a) = k(a+b)+a \quad e \quad \sigma(k(a+b)+a) = (k+1)(a+b),$$

então $\sigma \circ \rho \neq id$, *onde* id *designa a aplicação identidade. Para* $k \geqslant 1$ *tem-se que*

$$\sigma(k(a+b)) = k(a+b) \quad e \quad \rho(k(a+b)) = k(a+b) - b,$$

logo $\rho \circ \sigma \neq id$.

Proposição 8. *Um ponto $t \in \mathbb{T}$ é discreto à direita e denso à esquerda se e só se $\sigma \circ \rho(t) \neq t$.*

Demonstração. Repare-se que se t é um ponto discreto à esquerda, então $\rho(t) = t_1 \neq t$ e $\sigma(t_1) = t$ e, portanto, $\sigma \circ \rho(t) = t$. Assim a desigualdade $\sigma \circ \rho(t) \neq t$ garante que t é denso à esquerda e, como tal,

$$\sigma \circ \rho(t) = \sigma(t) \neq t\,,$$

ou seja, t é um ponto denso à esquerda e discreto à direita. A implicação contrária é imediata. □

Observação 9.

1. *Um ponto $t \in \mathbb{T}$ é denso à direita e discreto à esquerda se e só se $\rho \circ \sigma(t) \neq t$.*
2. *O operador de avanço é sobrejectivo se e só se não existem pontos em $\mathbb{T}$ que sejam simultaneamente discretos à direita e densos à esquerda.*
3. *O operador de avanço é injectivo se e só se não existem pontos em $\mathbb{T}$ que sejam simultaneamente densos à direita e discretos à esquerda.*

Para se proceder à classificação de um ponto numa escala temporal em Mathematica basta introduzir o comando

$$TSPoint[escalatemporal, ponto]$$

```
Example.nb *
In[14]:= TSPoint[ts, 0]
         0 is left-dense and right-scattered
In[15]:= TSPoint[ts, 1]
         1 is left-scattered and right-dense
In[16]:= TSPoint[ts, 2]
         2 is a dense point
In[17]:= TSPoint[ts, 5]
         5 is a isolated point
```

3 Diferenciabilidade

Seja $\mathbb{T}$ uma escala temporal e considere-se em $\mathbb{T}$ a topologia induzida pela topologia usual dos números reais. De modo semelhante ao tempo discreto $\mathbb{T} = \mathbb{Z}$, onde é usual considerar-se dois operadores de diferenças finitas,

$$\Delta f(t_i) = f(t_{i+1}) - f(t_i)\,,$$
$$\nabla f(t_i) = f(t_i) - f(t_{i-1})\,,$$

também na teoria das escalas temporais são comuns duas noções de diferenciação (e integração [22]).

3.1 Derivada delta

De modo a introduzir-se a definição de derivada delta é necessário considerar um novo conjunto, $\mathbb{T}^\kappa$, definido do seguinte modo:

$$\mathbb{T}^\kappa = \begin{cases} \mathbb{T}\setminus\{\sup\mathbb{T}\} & \text{se } \rho(\sup\mathbb{T}) < \sup\mathbb{T} < +\infty, \\ \mathbb{T} & \text{caso contrário.} \end{cases}$$

Definição 10. *Seja $f:\mathbb{T}\to\mathbb{R}$ uma função e seja $t\in\mathbb{T}^\kappa$. A derivada delta de f em t, que se representa por $f^\Delta(t)$, é o número real (caso exista) tal que para qualquer $\varepsilon>0$ existe uma vizinhança U_t^δ de t em $\mathbb{T}$ com*

$$\left|[f(\sigma(t)) - f(s)] - f^\Delta(t)[\sigma(t)-s]\right| \leqslant \varepsilon\,|\sigma(t)-s| \tag{1}$$

para todo o $s\in U_t^\delta$. Diz-se que f é delta-diferenciável em $\mathbb{T}$ se existe derivada delta de f em t para todo o $t\in\mathbb{T}^\kappa$. A função $f^\Delta:\mathbb{T}^\kappa\to\mathbb{R}$ diz-se a derivada delta de f em $\mathbb{T}^\kappa$.

Teorema 11. *Seja $f:\mathbb{T}\to\mathbb{R}$ e $t\in\mathbb{T}^\kappa$. Então f tem no máximo uma derivada delta em t.*

Demonstração. Suponha-se que f tem duas derivadas $x,y\in\mathbb{R}$ em t. Por definição de $\mathbb{T}^\kappa$, toda a vizinhança de t contém algum $s\in\mathbb{T}^\kappa$ com $s\neq\sigma(t)$. Tem-se então, para todo o $\varepsilon>0$, um $s\neq\sigma(t)$ com

$$\begin{aligned} |f(\sigma(t)) - f(s) - x\cdot(\sigma(t)-s)| &\leqslant \frac{\varepsilon}{2}|\sigma(t)-s| \\ |f(\sigma(t)) - f(s) - y\cdot(\sigma(t)-s)| &\leqslant \frac{\varepsilon}{2}|\sigma(t)-s|\ . \end{aligned}$$

Isto implica que

$$\begin{aligned} |x-y|\cdot|\sigma(t)-s| &= |(x-y)\cdot(\sigma(t)-s)| \\ &\leq |x\cdot(\sigma(t)-s) - [f(\sigma(t)) - f(s)]| + |f(\sigma(t)) - f(s) - y\cdot(\sigma(t)-s)| \\ &\leq \varepsilon\cdot|\sigma(t)-s|\,. \end{aligned}$$

Como $|\sigma(t)-s|\neq 0$, quando ε tende para zero conclui-se que $x=y$. □

Observação 12. *Se $t\in\mathbb{T}\setminus\mathbb{T}^\kappa$, então $f^\Delta(t)$ não está definida de modo único. Com efeito, para tal t pequenas vizinhanças U_t^δ de t consistem apenas de t e, além disso, tem-se $\sigma(t)=t$. Por conseguinte a desigualdade* (1) *é verificada para qualquer número $f^\Delta(t)$ arbitrário. É esta a razão porque na Definição 10 se exclui um ponto maximal que seja discreto à esquerda.*

Exemplo 13. *Seja $f:\mathbb{T}\to\mathbb{R}$, α uma constante e $f(t)=\alpha$ para todo o $t\in\mathbb{T}$. Então $f^\Delta(t)=0$ para todo o $t\in\mathbb{T}^\kappa$.*

Exemplo 14. *Se $f:\mathbb{T}\to\mathbb{R}$ é a função identidade $f(t)=t$, então $f^\Delta(t)=1$.*

Exemplo 15. *Seja $f:\mathbb{T}\to\mathbb{R}$ definida por $f(t)=t^2$. Então $f^\Delta(t)=t+\sigma(t)=2t+\mu(t)$. Para $\mathbb{T}=\mathbb{R}$ tem-se $f^\Delta=2t=f'(t)$; para $\mathbb{T}=\mathbb{Z}$, $f^\Delta=2t+1=\Delta f(t)$.*

Observação 16. *Uma função* $f:\mathbb{T}\to\mathbb{R}$ *diz-se contínua em* t_0 *se para qualquer* $\varepsilon>0$ *existir uma vizinhança* $U_{t_0}^{\delta}=]t_0-\delta,t_0+\delta[\cap\mathbb{T}$ *de* t_0*,* $\delta>0$*, tal que* $|f(t)-f(t_0)|<\varepsilon$ *qualquer que seja o* $t\in U_{t_0}^{\delta}$*. A função* f *diz-se contínua se for contínua para todo o* $t\in\mathbb{T}$*. Todas as funções* $f:\mathbb{T}\to\mathbb{R}$ *são contínuas para* $\mathbb{T}=\mathbb{Z}$*; para* $\mathbb{T}=\mathbb{R}$ *tem-se a definição usual de continuidade em* $\mathbb{R}$*; na escala temporal* $\mathbb{T}=\mathbb{P}_{1,1}$ *as restrições das funções reais de variável real contínuas em* $[2k,2k+1]$*,* $k\in\mathbb{N}_0$*, são contínuas, no entanto o operador de avanço* σ *não é contínuo, pois não é contínuo nos pontos* $2k+1$*,* $k\in\mathbb{N}_0$ *(cf. Exemplo 7).*

Teorema 17 ([9])**.** *Seja* $f:\mathbb{T}\to\mathbb{R}$ *uma função e seja* $t\in\mathbb{T}^{\kappa}$*.*

1. *Se* f *é delta-diferenciável em* t*, então* f *é contínua em* t*.*

2. *Se* f *é contínua em* t*, com* t *um ponto discreto à direita, então* f *é delta-diferenciável em* t *e*

$$f^{\Delta}(t)=\frac{f(\sigma(t))-f(t)}{\mu(t)}.$$

3. *Se* t *é denso à direita, então* f *é delta-diferenciável em* t *se e só se o limite*

$$\lim_{s\to t}\frac{f(s)-f(t)}{s-t}$$

existe (e é finito). Nesse caso

$$f^{\Delta}(t)=\lim_{s\to t}\frac{f(s)-f(t)}{s-t}.$$

4. *Se* f *é delta-diferenciável em* t*, então*

$$f(\sigma(t))=f(t)+\mu(t)f^{\Delta}(t).$$

Exemplo 18. *Se* $\mathbb{T}=\mathbb{R}$*, então* $f:\mathbb{R}\to\mathbb{R}$ *é diferenciável no sentido delta em* $t\in\mathbb{R}$ *se e só se o limite*

$$\lim_{s\to t}\frac{f(s)-f(t)}{s-t}$$

existe (e é finito), ou seja, se f *é diferenciável no sentido usual:*

$$f^{\Delta}(t)=\lim_{s\to t}\frac{f(s)-f(t)}{s-t}=f'(t).$$

Exemplo 19. *Se* $\mathbb{T}=\mathbb{Z}$*, então* $f:\mathbb{Z}\to\mathbb{R}$ *é delta-diferenciável para todo o* $t\in\mathbb{Z}$ *e*

$$f^{\Delta}(t)=\frac{f(\sigma(t))-f(t)}{\mu(t)}=f(t+1)-f(t)=\Delta f(t),$$

onde Δ *é o operador usual de diferenças finitas.*

Exemplo 20. *Seja $\mathbb{T} = h\mathbb{Z}$, $h > 0$. Uma vez que cada ponto $t \in \mathbb{T}$ é isolado,*

$$f^{\Delta}(t) = \frac{f(\sigma(t)) - f(t)}{\mu(t)} = \frac{f(t+h) - f(t)}{h} = \Delta_h f(t)\,.$$

Exemplo 21. *A derivada usual do cálculo-q (quântico) [20], também conhecida como derivada de Jackson [18], é facilmente obtida escolhendo-se, para $q > 1$, $\mathbb{T} = q^{\mathbb{N}_0} := \{q^k : k \in \mathbb{N}_0\}$:*

$$f^{\Delta}(t) = \frac{f(qt) - f(t)}{(q-1)t} = \mathcal{D}_q f(t)\,.$$

Exemplo 22. *Seja $\mathbb{T} = \mathbb{P}_{a,b}$ onde $a, b > 0$. Considere-se uma sucessão de pontos $\left(t_n^k\right)_{n\in\mathbb{N}} \subseteq [k(a+b), k(a+b)+a[$ tal que*

$$\lim_{n\to+\infty} t_n^k = k(a+b) + a\,.$$

Note-se que

$$\lim_{n\to+\infty} \sigma\left(t_n^k\right) = \lim_{n\to+\infty} t_n^k = k(a+b) + a \neq \sigma(k(a+b)+a)\,.$$

Como o operador de avanço não é contínuo no ponto $t = k(a+b) + a$, tem-se que σ não é delta-diferenciável nesse ponto.

Este último exemplo é um caso particular do resultado que se segue.

Proposição 23 ([29])**.** *Se $t \in \mathbb{T}^{\kappa}$, $t \neq \min\mathbb{T}$ e $\rho(t) = t < \sigma(t)$, então o operador de avanço σ não é delta-diferenciável em t.*

Demonstração. Com vista a um absurdo, considere-se que σ é delta-diferenciável em t e que $\sigma^{\Delta}(t) = a$. Então para todo o $s \in U_t$, vizinhança de t,

$$|[\sigma(\sigma(t)) - \sigma(s)] - a[\sigma(t) - s]| \leqslant \varepsilon |\sigma(t) - s|\,.$$

Em particular, para $s = t$

$$|[\sigma(\sigma(t)) - \sigma(t)] - a[\sigma(t) - t]| \leqslant \varepsilon |\sigma(t) - t|\,.$$

Ao tomar-se o limite quando $\varepsilon \to 0$, obtém-se:

$$[\sigma(\sigma(t)) - \sigma(t)] - a[\sigma(t) - t] = 0 \Rightarrow a = \frac{\sigma(\sigma(t)) - \sigma(t)}{\sigma(t) - t}\,.$$

Por outro lado, visto que t é discreto à direita e denso à esquerda, o ponto $s \in U_t$ pode ser escolhido à esquerda de t. Logo, quando $s \to t$, obtém-se que $\sigma(s) = s \to t$. Então,

$$\begin{aligned}
&|[\sigma(\sigma(t)) - t] - a[\sigma(t) - t]| \leqslant \varepsilon |\sigma(t) - t| \\
&\Rightarrow [\sigma(\sigma(t)) - t] - a[\sigma(t) - t] = 0 \\
&\Rightarrow a = \frac{\sigma(\sigma(t)) - t}{\sigma(t) - t}\,.
\end{aligned}$$

Ao comparar os resultados obtidos para a, conclui-se que $\sigma(t) = t$, o que contradiz a hipótese. □

Em Mathematica usa-se o comando `TSDelta`:

TSDelta[*escalatemporal*, *função*, *ponto*]
Note-se que a função pode ser definida dentro ou fora do comando TSDelta.

```
Example.nb *
In[18]:= f[t_] := t^4
In[19]:= TSDelta[ts, f, 2]
Out[19]= 32
In[20]:= TSDelta[ts, f, 5]
Out[20]= 1157
In[21]:= TSDelta[ts, (#^4) &, 2]
Out[21]= 32
```

O teorema seguinte apresenta as propriedades fundamentais da derivada delta.

Teorema 24 ([9])**.** *Sejam* $f, g : \mathbb{T} \to \mathbb{R}$ *duas funções delta-diferenciáveis em* $t \in \mathbb{T}^\kappa$*,* $\alpha \in \mathbb{R}$*. Então,*

1. $(f+g)^\Delta(t) = f^\Delta(t) + g^\Delta(t)$;
2. $(\alpha f)^\Delta(t) = \alpha f^\Delta(t)$;
3. $(fg)^\Delta(t) = f^\Delta(t)\, g(t) + f(\sigma(t))\, g^\Delta(t) = f(t)\, g^\Delta(t) + f^\Delta(t)\, g(\sigma(t))$;
4. $\left(\dfrac{f}{g}\right)^\Delta(t) = \dfrac{f^\Delta(t)\, g(t) - f(t)\, g^\Delta(t)}{g(t)\, g(\sigma(t))}$ *se* $g(t)\, g(\sigma(t)) \neq 0$.

Observação 25. *Use-se a notação* $f^\sigma = f \circ \sigma$*.*

1. *Sejam* $f_i : \mathbb{T} \to \mathbb{R}$*,* $i = 1, \ldots, n$*, funções delta-diferenciáveis. Então,*

$$(f_1 f_2 \cdots f_{n-1} f_n)^\Delta = f_1^\Delta f_2 \cdots f_{n-1} f_n + f_1^\sigma f_2^\Delta f_3 \cdots f_{n-1} f_n + \cdots + f_1^\sigma f_2^\sigma \cdots f_{n-1}^\sigma f_n^\Delta .$$

2. *Seja* $f : \mathbb{T} \to \mathbb{R}$ *uma função delta-diferenciável. Então,*

$$(f^n)^\Delta = f^\Delta \left[\sum_{k=1}^{n} f^{n-k} (f^\sigma)^{k-1} \right].$$

3. *Seja* $f : \mathbb{T} \to \mathbb{R}$ *uma função delta-diferenciável em* t *tal que* $f(t)\, f(\sigma(t)) \neq 0$*. Então,*

$$\left(f^{-n}\right)^\Delta = -\frac{(f^n)^\Delta}{f^n (f^\sigma)^n}.$$

As operações do Teorema 24 também estão definidas no *package TimeScales* do Mathematica:

$TSDeltaSum$[*escalatemporal*, *função1*, *função2*, *ponto*]

$TSDeltaProdConst$[*escalatemporal*, *função*, *constante*, *ponto*]

$TSDeltaProduct$[*escalatemporal*, *função1*, *função2*, *ponto*]

$TSDeltaQuocient$[*escalatemporal*, *função1*, *função2*, *ponto*]

```
Example.nb *
In[22]:= f[t_] := t^4; g[t_] := t^2
In[23]:= TSDeltaSum[ts, f, g, 2]
Out[23]= 36
In[24]:= TSDeltaProdConst[ts, f, 7, 2]
Out[24]= 224
In[25]:= TSDeltaProduct[ts, f, g, 2]
Out[25]= 192
In[26]:= TSDeltaQuocient[ts, f, g, 2]
Out[26]= 4
```

3.2 Derivada nabla

Na secção anterior definiu-se a derivada delta com recurso ao operador de avanço. Analogamente, introduz-se agora a noção de derivada nabla recorrendo ao operador de recuo. Considere-se o seguinte conjunto:

$$\mathbb{T}_\kappa = \begin{cases} \mathbb{T}\backslash\{\inf \mathbb{T}\} & \text{se } -\infty < \inf \mathbb{T} < \sigma(\inf \mathbb{T}), \\ \mathbb{T} & \text{caso contrário.} \end{cases}$$

Definição 26. *Seja $f : \mathbb{T} \to \mathbb{R}$ uma função e seja $t \in \mathbb{T}_\kappa$. A derivada nabla de f em t, que se representa por $f^\nabla(t)$, é o número real (caso exista) tal que para qualquer $\varepsilon > 0$ existe uma vizinhança U_t^δ de t em $\mathbb{T}$ com*

$$\left|[f(\rho(t)) - f(s)] - f^\nabla(t)[\rho(t) - s]\right| \leqslant \varepsilon |\rho(t) - s|$$

para todo o $s \in U_t^\delta$. Diz-se que f é nabla-diferenciável em $\mathbb{T}$ se existe derivada nabla de f em t para todo o $t \in \mathbb{T}_\kappa$. A função $f^\nabla : \mathbb{T}_\kappa \to \mathbb{R}$ diz-se a derivada nabla de f em $\mathbb{T}_\kappa$.

De modo semelhante ao caso delta (cf. Teorema 11) pode-se mostrar que se $f : \mathbb{T} \to \mathbb{R}$ e $t \in \mathbb{T}_\kappa$, então f tem no máximo uma derivada nabla em t.

Exemplo 27. *Para $\mathbb{T} = \mathbb{R}$ a derivada nabla coincide com a noção usual de derivada: $f^\nabla = f^\Delta = f'$.*

Exemplo 28. *Para $\mathbb{T} = \mathbb{Z}$ tem-se $f^\nabla(t) = \nabla f(t) = f(t) - f(t-1)$.*

Os resultados seguintes são similares aos da derivada delta:

Teorema 29 ([10])**.** *Seja $f : \mathbb{T} \to \mathbb{R}$ uma função e seja $t \in \mathbb{T}_\kappa$.*

1. *Se f é nabla-diferenciável em t, então f é contínua em t.*

2. *Se f contínua em t, com t um ponto discreto à esquerda, então f é nabla-diferenciável em t e*

$$f^{\nabla}(t) = \frac{f(t) - f(\rho(t))}{\nu(t)}.$$

3. *Se t é denso à esquerda, então f é diferenciável no sentido nabla em t se e só se o limite*

$$\lim_{s \to t} \frac{f(s) - f(t)}{s - t}$$

existe (e é finito). Nesse caso,

$$f^{\nabla}(t) = \lim_{s \to t} \frac{f(s) - f(t)}{s - t}.$$

4. *Se f é nabla-diferenciável em t, então $f(\rho(t)) = f(t) - \nu(t) f^{\nabla}(t)$.*

Teorema 30 ([10])**.** *Sejam $f, g : \mathbb{T} \to \mathbb{R}$ duas funções nabla-diferenciáveis em $t \in \mathbb{T}_{\kappa}$, $\alpha \in \mathbb{R}$. Então,*

1. $(f+g)^{\nabla}(t) = f^{\nabla}(t) + g^{\nabla}(t)$;
2. $(\alpha f)^{\nabla}(t) = \alpha f^{\nabla}(t)$;
3. $(fg)^{\nabla}(t) = f^{\nabla}(t) g(t) + f(\rho(t)) g^{\nabla}(t) = f(t) g^{\nabla}(t) + f^{\nabla}(t) g(\rho(t))$;
4. $\left(\frac{f}{g}\right)^{\nabla}(t) = \frac{f^{\nabla}(t) g(t) - f(t) g^{\nabla}(t)}{g(t) g(\rho(t))}$ *se* $g(t) g(\rho(t)) \neq 0$.

Em Mathematica os comandos são análogos aos da derivada delta mas têm sempre o prefixo *TSNabla*.

TSNabla[*escalatemporal*, *função*, *ponto*]

TSNablaSum[*escalatemporal*, *função1*, *função2*, *ponto*]

TSNablaProdConst[*escalatemporal*, *função*, *constante*, *ponto*]

TSNablaProduct[*escalatemporal*, *função1*, *função2*, *ponto*]

TSNablaQuocient[*escalatemporal*, *função1*, *função2*, *ponto*]

```
Example.nb *
In[27]:= f[t_] := t^4; g[t_] := t^2
In[28]:= TSNabla[ts, f, 5]
Out[28]= 369
In[29]:= TSNabla[ts, f, 2]
Out[29]= 32
In[30]:= TSNablaSum[ts, f, g, 2]
Out[30]= 36
In[31]:= TSNablaProdConst[ts, f, 7, 2]
Out[31]= 224
In[32]:= TSNablaProduct[ts, f, g, 2]
Out[32]= 192
In[33]:= TSNablaQuocient[ts, f, g, 2]
Out[33]= 4
```

3.3 Regras da cadeia

A fórmula usual da derivada da função composta não é válida em todas as escalas temporais.

Exemplo 31. *Ao considerar-se a escala temporal* $\mathbb{T} = \mathbb{Z}$ *e dadas as funções* $f, g : \mathbb{Z} \to \mathbb{Z}$ *definidas por*

$$f(t) = t^3 \quad e \quad g(t) = 2t$$

repara-se que

$$(f \circ g)^{\Delta} = \left(8t^3\right)^{\Delta} = 8\left(3t^2 + 3t + 1\right) = 24t^2 + 24t + 8$$

e que

$$f^{\Delta}(g(t)) \cdot g^{\Delta}(t) = \left(12t^2 + 6t + 1\right) 2 = 24t^2 + 12t + 2\,.$$

Logo,

$$(f \circ g)^{\Delta} \neq f^{\Delta}(g(t))\, g^{\Delta}(t)\ .$$

Uma das possíveis maneiras de determinar a derivada da função composta numa escala temporal é dada pelo próximo resultado.

Teorema 32 ([9])**.** *Seja* $g : \mathbb{R} \to \mathbb{R}$ *uma função contínua tal que* $g : \mathbb{T} \to \mathbb{R}$ *é delta-diferenciável em* $\mathbb{T}^{\kappa}$ *e seja* $f : \mathbb{R} \to \mathbb{R}$ *uma função com derivada contínua. Então, existe um número real* $c \in [t, \sigma(t)]$ *tal que*

$$(f \circ g)^{\Delta}(t) = f'(g(c))\, g^{\Delta}(t)\ . \qquad (2)$$

Exemplo 33. *Considere-se as funções* $f : \mathbb{R} \to \mathbb{R}$ *e* $g : \mathbb{T} \to \mathbb{R}$ *definidas por*

$$f(t) = t^3 \quad e \quad g(t) = 2t\,.$$

Observe-se que

$$(f \circ g)^{\Delta}(0) = f'(g(c))\, g^{\Delta}(0) \Leftrightarrow c = \frac{1}{\sqrt{3}} \vee c = -\frac{1}{\sqrt{3}}$$

e, portanto, a fórmula (2) *é válida em* $t = 0$ *para* $c = \frac{1}{\sqrt{3}} \in [0, \sigma(0)] = [0, 1]$.

Outra formulação possível para a derivada da função composta é apresentada no teorema seguinte.

Teorema 34 ([9])**.** *Seja* $f : \mathbb{R} \to \mathbb{R}$ *uma função diferenciável com continuidade e* $g : \mathbb{T} \to \mathbb{R}$ *uma função com derivada delta. Então,*

$$(f \circ g)^{\Delta}(t) = g^{\Delta}(t) \int_0^1 f'\left(g(t) + \xi\mu(t)\, g^{\Delta}(t)\right) d\xi\,.$$

Exemplo 35. *Considerando as funções f e g do Exemplo 33, verifica-se que*

$$\begin{aligned}(f \circ g)^{\Delta}(t) &= 2\int_0^1 3\,(2t+2\xi)^2\,d\xi \\ &= \left[(2t+2\xi)^3\right]_0^1 \\ &= (2t+2)^3 - 8t^3 \\ &= 24t^2+24t+8\,.\end{aligned}$$

Teorema 36 ([9])**.** *Seja $g:\mathbb{T}\to\mathbb{R}$ uma função estritamente crescente tal que $\tilde{\mathbb{T}} = g(\mathbb{T})$ é uma escala temporal e seja $f:\tilde{\mathbb{T}}\to\mathbb{R}$ uma função. Se $g^{\Delta}(t)$ e $f^{\tilde{\Delta}}(g(t))$ existem para $t\in\mathbb{T}^{\kappa}$, então*

$$(f\circ g)^{\Delta} = \left(f^{\tilde{\Delta}}\circ g\right)g^{\Delta}$$

onde $f^{\tilde{\Delta}}$ representa a delta derivada de f em $\tilde{\mathbb{T}}$.

Exemplo 37. *Considerem-se as funções f e g do Exemplo 31. Assim $\tilde{\mathbb{T}} = g(\mathbb{Z}) = 2\mathbb{Z}$. Como*

$$\begin{aligned}f^{\tilde{\Delta}}(t) &= \frac{f(t+2)-f(t)}{2} \\ &= \frac{(t+2)^3 - t^3}{2} \\ &= 3t^2+6t+4\end{aligned}$$

e

$$f^{\tilde{\Delta}}\circ g(t) = 12t^2+12t+4$$

logo

$$\left(f^{\tilde{\Delta}}\circ g\right)g^{\Delta}(t) = \left(12t^2+12t+4\right)2 = 24t^2+24t+8\,.$$

Como consequência do Teorema 36 obtém-se o seguinte resultado para a derivada da função inversa.

Teorema 38 ([9])**.** *Seja $g:\mathbb{T}\to\mathbb{R}$ uma função estritamente crescente tal que $\tilde{\mathbb{T}} = g(\mathbb{T})$ é uma escala temporal. Então*

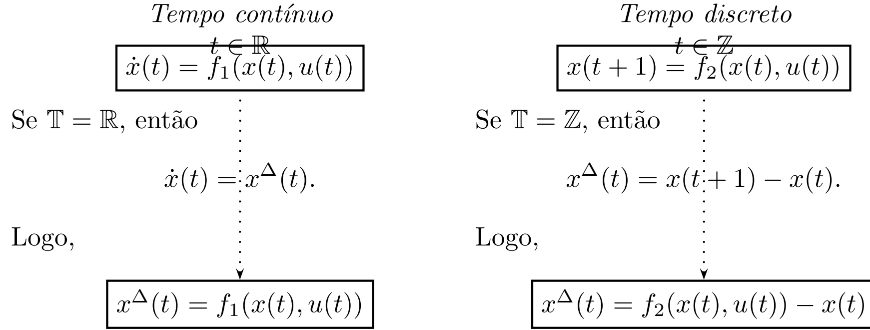
$$\frac{1}{g^{\Delta}} = \left(g^{-1}\right)^{\tilde{\Delta}}\circ g$$

nos pontos $t\in\mathbb{T}^{\kappa}$ onde $g^{\Delta}(t)\neq 0$.

4 Conclusão e notas finais

O formalismo das escalas temporais permite desenvolver uma teoria de cálculo diferencial generalizado, que tem como casos particulares o cálculo diferencial em $\mathbb{R}$, o cálculo das diferenças finitas e o cálculo-q (quântico). Mesmo uma escala temporal como o conjunto de Cantor está incluída. Os objectivos primordiais da análise em escalas temporais são *unificação* e *generalização*. Como resultado pode-se evitar a apresentação em paralelo de resultados discretos e contínuos (por vezes maçador, às vezes difícil) e a realização de "demonstrações" por analogia ou apenas por omissão, que tão frequentemente ocorrem nas apresentações de versões discretas de temas da análise [17].

Uma área de investigação muito activa consiste em estudar sistemas de controlo em escalas temporais (*vide*, e.g., [3, 4, 5, 11, 26, 29]). Este é o assunto da unidade curricular *Teoria do Controlo em Time Scales* da área de especialização em *Optimização, Sistemas e Controlo* do *Programa Doutoral em Matemática e Aplicações* (PDMA) entre os Departamentos de Matemática da Universidade de Aveiro (DMAT-UA) e da Universidade do Minho (DMAT-UM). De modo muito sucinto, a ideia central da teoria dos sistemas e controlo em *time scales* consiste em usar o conceito de derivada delta (ou nabla) para unificar os sistemas de controlo tanto em tempo contínuo como em tempo discreto:



Estudam-se então sistemas de controlo numa escala temporal $\mathbb{T}$, i.e.,

$$x^{\Delta}(t) = f(x(t), u(t)), \quad t \in \mathbb{T}^{\kappa}.$$

Ao considerar-se o cálculo em escalas temporais, os sistemas de controlo em tempo contínuo e em tempo discreto são fundidos numa única teoria mais geral.

Neste pequeno artigo apresentam-se as noções elementares da teoria das escalas temporais, que servem de ponto de partida para um estudo mais aprofundado, e.g., o estudo do cálculo integral em escalas temporais, o estudo das equações delta ou nabla-diferenciáveis e a "Teoria do Controlo em Time Scales". O *package TimeScales*, desenvolvido para o Mathematica, não só executa cálculos básicos como evidencia as diferenças de resultados para escalas temporais distintas. Está disponível em `http://www.esce.ipvc.pt/docentes/srodrigues/TimeScales.m`.

Em anos recentes o cálculo em escalas temporais tem recebido considerável atenção internacional (cf., e.g., `http://web.mst.edu/~bohner/tslist.html`).

Vários seminários e sessões especiais sobre a temática das escalas temporais são organizados. Em Maio próximo decorre em Dresden, na Alemanha, uma sessão convidada organizada por Martin Bohner, Stefan Hilger e Agacik Zafer, no âmbito da *8th AIMS Conference on Dynamical Systems, Differential Equations and Applications*, Dresden, Germany, May 25-28, 2010 (`http://web.mst.edu/~bohner/dd2010.html`). Ao leitor interessado nestas temáticas, e como ponto de partida, recomenda-se os livros [9, 10, 21].

Agradecimentos

Os dois primeiros autores são alunos do Programa Doutoral em Matemática e Aplicações (PDMA) dos Departamentos de Matemática das Universidades de Aveiro (DMAT-UA) e Minho (DMAT-UM), com suporte financeiro da Fundação para a Ciência e Tecnologia (FCT): bolsas SFRH/BD/33634/2009 (Artur Cruz) e SFRH/BD/33384/2008 (Helena Rodrigues). Os autores estão gratos a Pedro A. F. Cruz pela ajuda na construção do *package* em Mathematica *TimeScales*, a Natália Martins por todo o acompanhamento e pela leitura cuidada de uma versão preliminar deste trabalho e a um revisor anónimo pelas inúmeras sugestões de melhoramento do texto.

Referências

[1] Almeida, R.; Torres, D.F.M. (2009) Isoperimetric problems on time scales with nabla derivatives. *J. Vib. Control* **15**, no. 6, 951–958. `arXiv:0811.3650`

[2] Atici, F.M.; Uysal, F. (2008) A production inventory model of HMMS on time scales. *Appl. Math. Lett.* **21**, no. 3, 236–243.

[3] Bartosiewicz, Z.; Kotta, U.; Pawłuszewicz, E.; Wyrwas, M. (2007) Algebraic formalism of differential one-forms for nonlinear control systems on time scales. *Proc. Estonian Acad. Sci. Phys. Math.* **56**, no. 3, 264–282.

[4] Bartosiewicz, Z.; Pawłuszewicz, E. (2006) Realizations of linear control systems on time scales. *Control Cybernet.* **35**, no. 4, 769–786.

[5] Bartosiewicz, Z.; Pawłuszewicz, E. (2008) Realizations of nonlinear control systems on time scales. *IEEE Trans. Automat. Control* **53**, no. 2, 571–575.

[6] Bartosiewicz, Z.; Torres, D.F.M. (2008) Noether's theorem on time scales. *J. Math. Anal. Appl.* **342**, no. 2, 1220–1226. `arXiv:0709.0400`

[7] Bell, E.T. (1937) *Men of mathematics.* Simon and Schuster, New York.

[8] Biles, D.; Atici, F.; Lebedinsky, A. (2006) An application of time scales to economics. *Math. Comput. Modelling* **43**, no. 7-8, 718–726.

[9] Bohner, M.; Peterson, A. (2001) *Dynamic equations on time scales: an introduction with applications.* Birkhäuser Boston, Inc., Boston, MA.

[10] Bohner, M.; Peterson, A. (2003) *Advances in dynamic equations on time scales.* Birkhäuser Boston, Inc., Boston, MA.

[11] DaCunha, J.J. (2004) *Lyapunov stability and Floquet theory for nonautonomous linear dynamic systems on time scales.* PhD thesis, Baylor University.

[12] Duke, E.R. (2006) *Solving higher order dynamic equations on time scales as first order systems*. MSc thesis, Marshall University.

[13] Ferreira, R.A.C.; Torres, D.F.M. (2008) Higher-order calculus of variations on time scales. *Mathematical Control Theory and Finance*, Springer, Berlin, 149–159. arXiv:0706.3141

[14] Ferreira, R.A.C.; Torres, D.F.M. (2009) Generalizations of Gronwall-Bihari inequalities on time scales. *J. Difference Equ. Appl.* **15**, no. 6, 529–539. arXiv:0805.2673

[15] Ferreira, R.A.C.; Torres, D.F.M. (2009) Some linear and nonlinear integral inequalities on time scales in two independent variables. *Nonlinear Dyn. Syst. Theory* **9**, no. 2, 161–169. arXiv:0805.3765

[16] Hilger, S. (1988) *Ein Maßkettenkalkül mit Anwendung auf Zentrumsmannigfaltigkeiten*. PhD thesis, Universität Würzburg.

[17] Hilger, S. (1990) Analysis on measure chains—a unified approach to continuous and discrete calculus. *Results Math.* **18**, no. 1-2, 18–56.

[18] Jackson, F.H. (1910) q-Difference Equations. *Amer. J. Math.* **32** , no. 4, 305–314.

[19] Jones, M.A.; Song, B.; Thomas, D.M. (2004) Controlling wound healing through debridement. *Math. Comput. Modelling* **40**, no. 9-10, 1057–1064.

[20] Kac, V.; Cheung, P. (2002) *Quantum calculus*. Universitext, Springer-Verlag, New York.

[21] Lakshmikantham, V.; Sivasundaram, S.; Kaymakcalan, B. (1996) *Dynamic systems on measure chains*. Mathematics and its Applications, 370. Kluwer Academic Publishers Group, Dordrecht.

[22] Malinowska, A.B.; Torres, D.F.M. (2009) On the diamond-alpha Riemann integral and mean value theorems on time scales. *Dyn. Syst. Appl.* **18**, 469–482. arXiv:0804.4420

[23] Malinowska, A.B.; Torres, D.F.M. (2009) Necessary and sufficient conditions for local Pareto optimality on time scales. *J. Math. Sci. (N. Y.)* **161**, no. 6, 803–810. arXiv:0801.2123

[24] Malinowska, A.B.; Torres, D.F.M. (2009) Strong minimizers of the calculus of variations on time scales and the Weierstrass condition. *Proc. Est. Acad. Sci.* **58**, no. 4. arXiv:0905.1870

[25] Martins, N.; Torres, D.F.M. (2009) Calculus of variations on time scales with nabla derivatives. *Nonlinear Anal.* **71**, no. 12, e763–e773. arXiv:0807.2596

[26] Pawłuszewicz, E.; Torres, D.F.M. (2010) Avoidance control on time scales. *J. Optim. Theory Appl.* **145**, no. 3, in press. arXiv:0910.3308

[27] Sidi Ammi, M.R.; Ferreira, R.A.C.; Torres, D.F.M. (2008) Diamond-α Jensen's inequality on time scales. *J. Inequal. Appl.* **2008**, Article ID 576876, 13 pp. arXiv:0712.1680

[28] Sidi Ammi, M.R.; Torres, D.F.M. (2009) Combined dynamic Grüss inequalities on time scales. *J. Math. Sci. (N. Y.)* **161**, no. 6, 792–802. arXiv:0801.1865

[29] Wyrwas, M.; Torres, D.F.M. *Control theory on time scales*, in preparation.